

مقارنة بين طائق التنبؤ لسلسلة حمل الذروة اليومي للطاقة الكهربائية  
في مدينة الموصل

\*إيمان إبراهيم غانم

\*د. صفاء يونس الصفاوي

### المستخلص

لقد أولى تحليل السلسل الزمنية اهتماماً كبيراً للتنبؤ وتم اقتراح العديد من الأساليب لغرض إجراء التنبؤ. ونظراً لأهمية التنبؤ بـ طائق المخالفة جاء هدف هذا البحث المتمثل بإجراء مقارنة بين طريقة بوكس - جينكنز، وطرائق التمهيد الأسني في التنبؤ والمفاضلة بينهم بالاعتماد على معايير متوسط مربعات الخطأ ( $MSE$ ) ومتوسط الخطأ المطلق ( $MAE$ ) ومتوسط النسبة المطلقة للخطأ ( $MAPE$ ) ، للتنبؤ بالقيم المستقبلية لنماذج السلسل الزمنية الموسمية وكان النموذج المقترن والملائم لبيانات السلسلة الزمنية هو  $ARIMA(0,1,2)(0,1,1)$  ، وقد تم تطبيقه على بيانات سلسلة زمنية تمثل حمل الذروة اليومي للطاقة الكهربائية في مدينة الموصل.

### A Comparison between forecasting methods of daily peak load series for electrical power in Mosul

#### Abstract

Time series analysis gives a great importance to predict and many of the methods proposed for the purpose of forecasting. In view of the importance of accession deviation it was different of the goal of this research for a comparison between the Box-Jenkins method and Exponential Smoothing methods and compare the standard based on the mean square error( $MSE$ ) and mean absolute error ( $MAE$ ) and mean absolute percentage error ( $MAPE$ ), to assume the future values of the seasonal time series models and the model of suggested and fitting for time series data is  $ARIMA (0,1,2)(0,1,1)$  and has been applied to the observations represent daily of peak load for electric power in Mosul.

\* أستاذ / قسم الإحصاء والمعلوماتية / كلية علوم الحاسوب والرياضيات / جامعة الموصل  
\*\*باحثة / قسم الإحصاء والمعلوماتية / كلية علوم الحاسوب والرياضيات / جامعة الموصل

## المقدمة:

تتمتع السلاسل الزمنية بأهمية واسعة في مجال البحث العلمي ، إذ إنها تمثل سلوك وطبيعة التغيرات التي تحدث لظاهرة معينة خلال فترة زمنية محددة وبالتالي الاستفادة منها في التخطيط والتنبؤ. إن المنهجية التي قدمها العالمان بوكس وجينكنز في مطلع السبعينيات من القرن العشرين والتي أصبحت منذ ذلك الوقت الأداة الأكثر قبولاً وشيوعاً في الأوساط العلمية والنظرية والتطبيقية إذ أثبتت هذه المنهجية بأن لها كفاءة عالية في نمذجة البيانات الزمنية والتنبؤ بها.

ذلك فان طرائق التمهيد الأسية من الطرائق الشائعة في التنبؤ حيث يعد موضوع التمهيد من الإجراءات الإحصائية المهمة التي تعالج التشويش أو الأخطاء العشوائية ، ويمكن تعريف التمهيد بأنه عملية صقل أو تعميم البيانات التي فيها تشويش وهو نوع من أنواع عملية التقدير التي أثبتت نجاحها من خلال دراسة الحالات التي تعتمد أو تتغير مع الزمن.(الطائي، 2004)،(شعراوي، 2005)،(Makridkis, 1978)

## الجانب النظري :

### 1.طريقة بوكس - جينكنز (الطائي، 2003) ، (جميل، 2007)

هناك عدة مراحل لبناء أي نموذج من نماذج بوكس - جينكنز ومن هذه المراحل :

**1.1 التشخيص:** وهي المرحلة الأكثر أهمية في بناء النموذج وتعتمد على بيانات السلاسل المعطاة في الدراسة وهذا يتطلب معرفة جيدة بقيم النماذج لدوال الارتباط الذاتي (*ACF*) ودالة الارتباط الذاتي الجزئي (*PACF*) ، وتمثل مرحلة التشخيص في اختيار النموذج الملائم للبيانات المأخوذة ، وأولى خطوات مرحلة التشخيص هي رسم بيانات السلسلة الزمنية لفحص وجود الاتجاه الموسمى والتباین غير الثابت ، تُستخدم طائق التحويل للسلسلة غير المستقرة حول التباين والوسط إلى سلسلة مستقرة ومن هذه التحويلات التحويل اللوغارتمي (إذا كان التباين غير ثابت) وطريقة الفروق(إذا كان الوسط غير ثابت) والخطوة الثانية هي حساب (*ACF*) و(*PACF*) للسلسلة التي تم تحويلها في الخطوة الأولى وفحص (*ACF*) و(*PACF*) لتحديد فيما إذا كانت السلسلة تحتاج إلى اخذ فرق ثانى ، ومن ثم تحديد طبق  $p, q$  في النموذج المختلط للبيانات من خلال دالتي (*ACF*) و(*PACF*) وقد يواجه الباحث بعض الصعوبات في تحديد النموذج ومرتبته وهذا يؤدي إلى ظهور أكثر من نموذج لتمثيل السلسلة الزمنية مما يؤدي إلى اختيار عدة نماذج من قبل الباحث ويختار النموذج الملائم لبياناته.

**1.2 تقدير معلمات النموذج:** هناك عدة طائق لتقدير معلمات النموذج ومن هذه الطائق طريقة المرربعات الصغرى.

**1.3 اختيار النموذج:** لأختيار افضل نموذج من بين النماذج المقدمة هناك عدة معايير، ومن هذه المعايير:-

ـ معيار معلومات أكاكى Akaike Information Criterion

$$AIC(M) = n \ln \sigma^2 + 2M \quad \dots (1)$$

ـ معيار معلومات بيز لشوارتز Schwartz's Bayesian Information Criterion

$$SBIC(M) = n \ln \sigma^2 + M \ln n \quad \dots (2)$$

اذا ان  $M$  : عدد المعلومات في النموذج (الطائي ، 2003)

#### 1.4 اختبار معلمات النموذج والفحوص التشخيصية :

يُحدد في هذه المرحلة مدى معنوية المعلمات المقدرة للنموذج المُفوق وهل هي ضرورية ببقائها في النموذج أم انها غير معنوية و وجودها غير ضروري وحينئذ يجب حذفها من النموذج لأنها لا تختلف عن الصفر مع ملاحظة رسم دالتي الارتباط الذاتي والارتباط الذاتي الجزئي لباقي النموذج وهل إنها تمثل سلسلة تشويش أبيض أم لا.

#### 1.5 التنبؤ:

إن التنبؤ للسلسلة الزمنية يفترض بان السلسلة الزمنية هي مجموعة أنماط وبعض أخطاء عشوائية وان الهدف من التنبؤ هو فصل النمط عن الخطأ من خلال فهم اتجاه نمط البيانات في زیادته الطويلة المدى أو نقصانه وموسميته أي التغيير الذي سببته عوامل موسمية ،الغرض من التنبؤ هو تقليص وتقليل المخاطر في اتخاذ القرار ، لذا فان خصائص أداء النموذج يجب ان تتحقق بمقارنة توقعاته بالبيانات التاريخية للظاهرة المدروسة فكلما كانت نسبة الخطأ قليلة كان التنبؤ دقيقاً . (Kalekar, 2004)

وهنالك العديد من المعايير المستخدمة لحساب اداء التنبؤ منها: (Muttar, 2008)(Liu, 2006)

##### 1.متوسط مربعات الخطأ (Mean Squared Error)

$$MSE = \frac{\sum_{t=1}^n (y_t - \hat{y}_t)^2}{n} \quad \dots (3)$$

##### 2. متوسط الخطأ المطلق (Mean Absolute Error)

$$MAE = \frac{\sum_{t=1}^n |y_t - \hat{y}_t|}{n} \quad \dots (4)$$

##### 3.متوسط النسبة المطلقة للخطأ (Mean Absolute Percentage Error)

$$MAPE = \left( \frac{1}{n} \sum_{t=1}^n \frac{|(y_t - \hat{y}_t)|}{y_t} \right) * 100 , (y_t \neq 0) \quad \dots (5)$$

فكلما كانت قيمة هذه المقاديس قليلة دل ذلك على اقتراب القيم المتباينة بها من القيم الحقيقية لبيانات سلسلة الظاهرة .

## 2. طرائق التمهيد الأسي:

تعد طرائق التمهيد الأسي في السلسل الزمنية من الطرائق المهمة في عملية بناء نماذج السلسل الزمنية والتنبؤ بمستقبل الظاهرة المدروسة ، ولقد صنف (Pegels, 1969) طرائق التمهيد الأسي المختلفة بحيث ان كل طريقة تصنف كي تكون مناسبة لسلسلة وقد وسع (Hyndman, 2002) مؤخراً هذا التصنيف كي يتضمن اتجاهًا مضافاً متضائلاً إما مع الالموسمية أو مع الموسمية المضافة أو مع الموسمية المضاعفة. ومن بين الطائق المختلفة طريقة التمهيد الأسي المنفرد (البسيط) وطريقة Holt-Winters .  
 (Holt-Winters (2011 ، (Taylor, 2003a ) )

### 2.1 طرائق التمهيد غير الموسمية:

1.2.1 طريقة التمهيد الأسي المنفرد: تعد من أسهل طرائق التمهيد والصيغة العامة لها:

$$S_t = \alpha y_t + (1 - \alpha)S_{t-1} ; \quad 0 < \alpha < 1 \quad \dots (6)$$

2.2.1 طريقة التمهيد الأسي المزدوج لهولت: يمكن تمديد مكونات السلسلة الزمنية  $y_1, y_2, \dots, y_n$  ولثابتى تمديد المستوى والاتجاه  $0 < \alpha < 1$  و  $0 < \gamma < 1$  على التوالي كما يأتي:

$$S_t = \alpha y_t + (1 - \alpha)(S_{t-1} + b_{t-1}) , t = 1, 2, \dots, n \quad \dots (7)$$

$$b_t = \gamma(S_t - S_{t-1}) + (1 - \gamma)b_{t-1} \quad \dots (8)$$

إذ أن:

$y_t$ : قيمة المشاهدة عند الزمن  $t$  .

$S_t$ : تمديد المستوى في الفترة  $t$  .

$S_{t-1}$  : تمديد المستوى  $S$  للفترة الماضية  $(t-1)$  .

$b_t$  : الاتجاه وهو تقدير ممهد لمعدل النمو في نهاية كل فترة .

ومعادلة التمهيد (التنبؤ) تكون بالصيغة الآتية:- (برى، 2002)

$$\hat{y}_t = S_t + b_t t , t = 1, 2, \dots, n \quad \dots (9)$$

### 2.2 طرائق التمهيد الأسي الموسمية: (يونس و الدباغ، 2011)

يتم أولاً تحديد القيم المثلث للمعلمات  $(\alpha, \gamma, \delta)$  والتي يكون اختيارها عن طريق الحصول على القيمة الأقل لمتوسط مربعات انحرافات أخطاء التنبؤ Mean Square (MSD)

وهو يشبه الى حد كبير المقياس  $MSE$  في حساب الخطأ لنماذج الانحدار وهو شائع الاستخدام لمعرفة دقة القيم المقدرة لبيانات السلسلة وبحسب وفق الصيغة الآتية:-

$$MSD = \frac{\sum_{t=1}^n (y_t - \hat{y}_t)^2}{n} \quad \dots (10)$$

اذ ان:-  $y_t$  : القيم المشاهدة و  $\hat{y}_t$  : القيم التقديرية (المُمَهَّدة).

### 1.2.2 طريقة Holt-Winters الموسمية المضافة (Additive)

وتمثل هذه الطريقة بالمعادلات الأساسية الآتية:-

$$Level \quad S_t = \alpha(y_t - I_{t-s}) + (1 - \alpha)(S_{t-1} + T_{t-1}) \quad \dots (11)$$

$$Trend \quad T_t = \gamma(S_t - S_{t-1}) + (1 - \gamma)T_{t-1} \quad \dots (12)$$

$$Seasonality \quad I_t = \delta(Y_t - S_t) + (1 - \delta)I_{t-s} \quad \dots (13)$$

$$\hat{y}_t(K) = S_t + K T_t + I_{t-s+K} \quad \dots (14)$$

اذ ان:  $\alpha$  ،  $\gamma$  ،  $\delta$  : معلمات تمديد المستوى والاتجاه والموسمية على التوالي.

.  $K$ -step-ahead forecast  $\hat{y}_t(K)$  : التنبؤ بـ  $K$  خطوة للأمام

.  $K = 1, 2, \dots$  : طول مسافة التنبؤات حيث أن .....

.  $I_{t-s+K}$  : تمديد المركب الموسمي للفترة  $t + K$

#### إيجاد القيم الأولية لـ Holt-Winters الموسمية المضافة:

1. القيمة الأولية لمركبة المستوى :

$$S_0 = \frac{1}{s}(y_1 + y_2 + \dots + y_s) \quad \dots (15)$$

إذ يستخدم موسم واحد فقط .

2. القيمة الأولية لمركبة الاتجاه :

$$T_0 = \frac{1}{s} \left( \frac{y_{s+1} - y_1}{s} + \frac{y_{s+2} - y_2}{s} + \dots + \frac{y_{s+s} - y_s}{s} \right) \quad \dots (16)$$

إذ من الملائم ان يؤخذ موسمان كاملاً  $2s$  period

3. القيم الأولية لعوامل الموسمية :  $Seasonal factors$

$$I_1 = y_1 - S_0, \quad I_2 = y_2 - S_0, \dots, I_s = y_s - S_0 \quad \dots (17)$$

### 2.2.2 طريقة Holt-Winters الموسمية المضاعفة (Multiplicative)

مقارنة بين طائق التنبؤ لسلسلة حمل الذروة اليومي للطاقة الكهربائية في مدينة الموصل

تستخدم في هذه الطريقة المعادلات الآتية:-

$$\text{Level } S_t = \alpha \left( \frac{y_t}{I_{t-s}} \right) + (1 - \alpha)(S_{t-1} + T_{t-1}) \quad \dots (18)$$

$$\text{Trend } T_t = \gamma(S_t - S_{t-1}) + (1 - \gamma)T_{t-1} \quad \dots (19)$$

$$\text{Seasonality } I_t = \delta \left( \frac{y_t}{S_t} \right) + (1 - \delta)I_{t-s} \quad \dots (20)$$

$$\hat{y}_t(K) = (S_t + K T_t) I_{t-s+K} \quad \dots (21)$$

الفرق الوحيد بين الطريقتين (المضافة والمضاعفة) هو أنَّ المؤشرات الموسمية بالطريقة المضاعفة تُضرب وتُقسم بدلاً من أنْ تضاف وتُطرح كما في الطريقة المضافة ( , Taylor 2003b

**إيجاد القيم الأولية لـ Holt-Winters الموسمية المضاعفة:**

ان القيم الأولية للمستوى  $S$  وللتجاه  $T$  يتم إيجادهما بالطريقة الخاصة بالصيغ نفسها . أما القيم الأولية لعامل الموسمية فتحسب كالتالي : (Makridakis & McGee , 1983)

$$I_1 = \frac{y_1}{S_s}, I_2 = \frac{y_2}{S_s}, \dots, I_s = \frac{y_s}{S_s} \quad \dots (22)$$

**الجانب التطبيقي:**

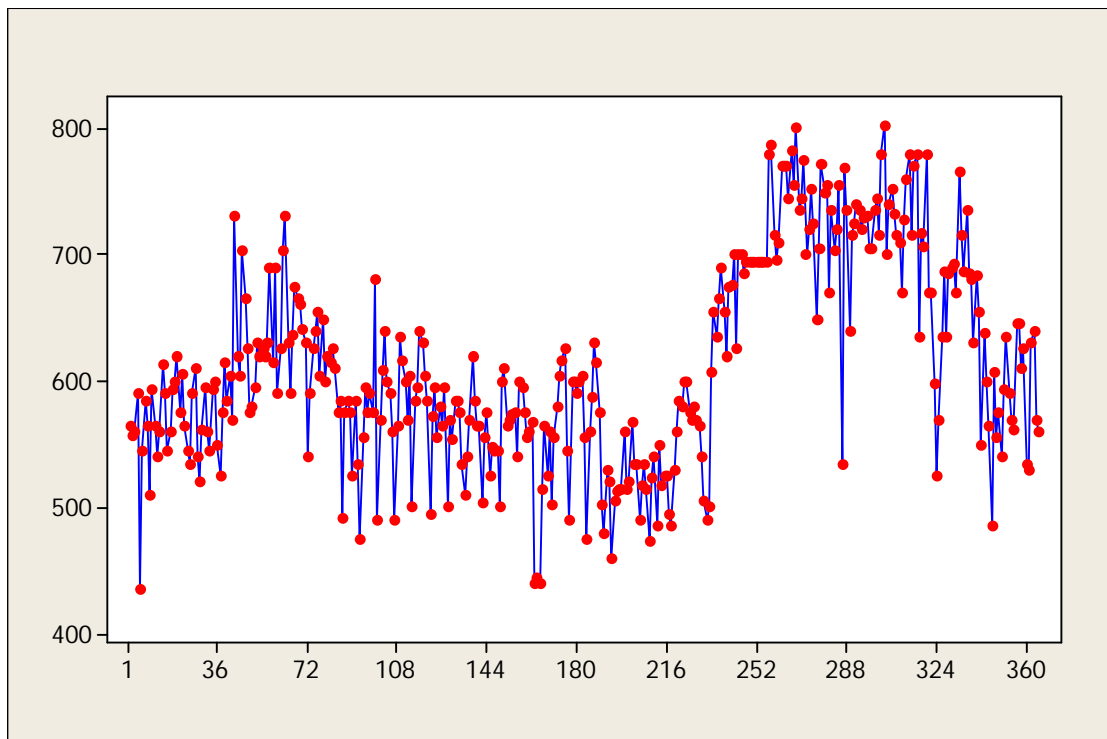
استخدمت السلسلة الزمنية الخاصة بحمل الذروة اليومي للطاقة الكهربائية لإحدى مناطق مدينة الموصل وللفترة من 1/4/2010 ولغاية 31/3/2011 (لمدة سنة) أي ما يعادل  $n=365$  يوم وكان أقصى طلب (حمل ذروة ) في فصل الشتاء وتحديداً في شهر كانون الثاني إذ بلغت قيمته (803) ميكواط وفي فصل الصيف بلغ أقصى حمل للذروة (730) ميكواط في شهري آيار وتموز .

ويتضمن الجانب التطبيقي عرضاً للطائق التي يتم من خلالها التنبؤ بالسلسلة الزمنية:

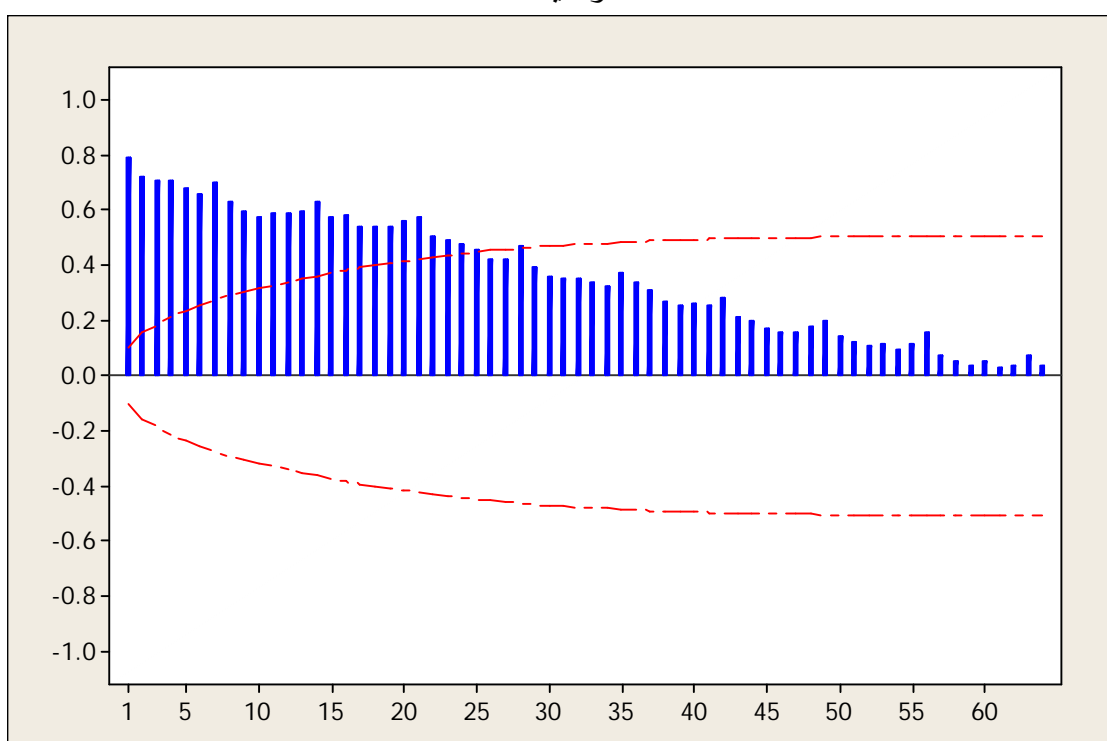
#### 1. التطبيق بطريقة بوكس-جينكنز:

الشكل (1) يوضح رسم للسلسلة الزمنية بالأيام ، وتبيّن من الرسم أنها غير مستقرة ومتذبذبة بصورة غير منتظمة:-

عدد خاص بوقائع المؤتمر العلمي السادس لكلية علوم الحاسوب والرياضيات

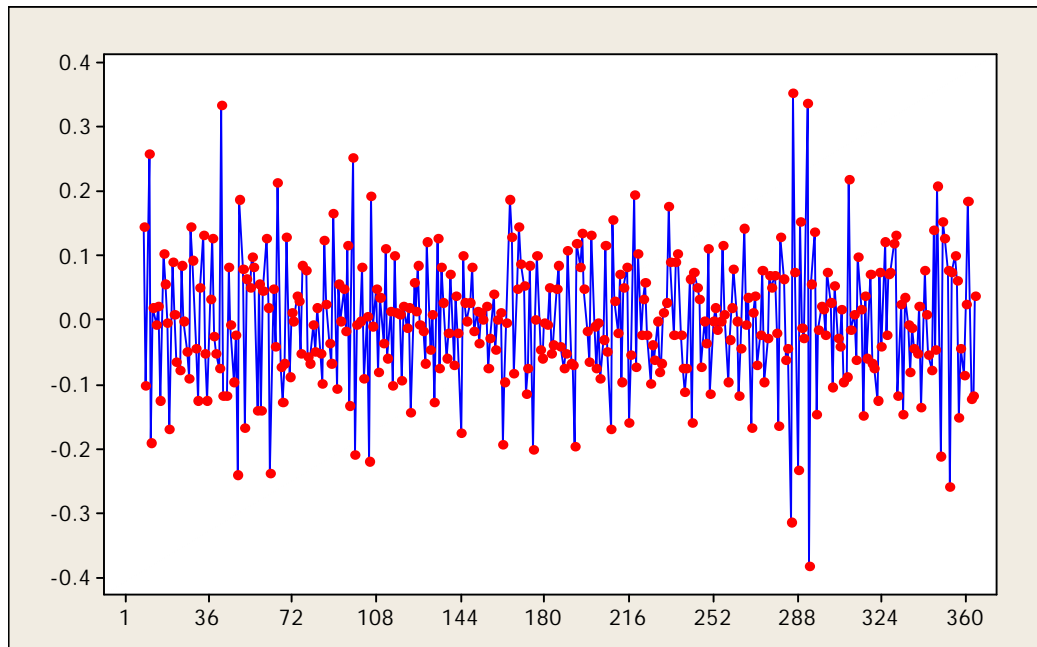


الشكل (1): السلسلة الزمنية لحمل الذروة اليومي للطاقة الكهربائية لمدينة الموصل للفترة من 31/3/2011 ولغاية 1/4/2010



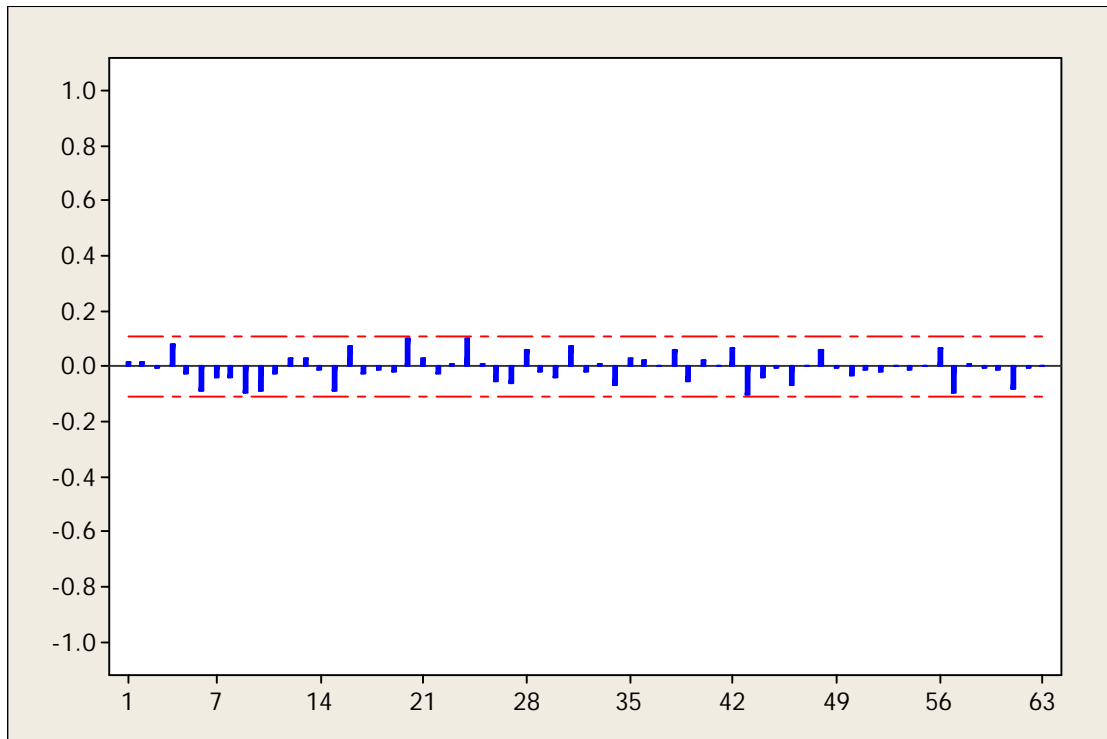
الشكل(2): دالة الارتباط الذاتي لبيانات السلسلة الزمنية الاصلية

يتضح من الشكل (2) سلوك دالة الارتباط الذاتي إذ انها سلسلة غير مستقرة وان هناك أثار موسمية ، ولتحويل السلسلة الزمنية إلى سلسلة مستقرة تمأخذ التحويل اللوغاريتمي لبيانات السلسلة لثبيت التباين وإزالة الأثر الموسمي ( $S=7$ ) وخذ الفرق الموسمي والفرق الاعتيادي لتحقيق الاستقرارية في الوسط وكما هو موضح في الشكل (3).

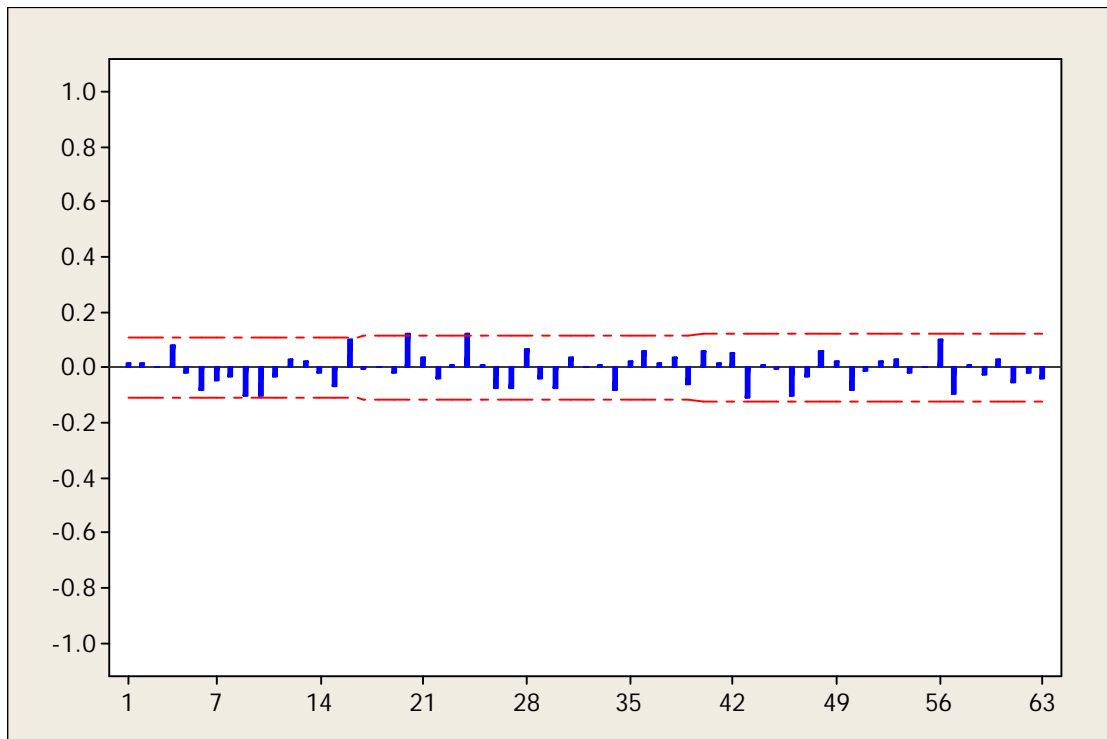


الشكل (3): سلوك المشاهدات بعد تحويل السلسلة الزمنية إلى سلسلة مستقرة

وبعد ثبيت الوسط الحسابي والتباين وإزالة الأثر الموسمي لتحقيق استقرارية السلسلة تم إيجاد النموذج الملائم لبيانات السلسلة ومن خلال ملاحظة دالة الارتباط الذاتي والارتباط الذاتي الجزئي ومقارنتهما وأخذ أقل متوسط مربعات خطأ (MSE) للنماذج المقترنة تم التوصل إلى أفضل نموذج لبيانات السلسلة الزمنية و هو<sup>7</sup> ARIMA(0,1,2)(0,1,1) لامتلاكه أقل قيمة لمعياري معلومات أكاكى ومعلومات بيز لشوارتز ، ويُلاحظ عند رسم دالة الارتباط الذاتي والارتباط الذاتي الجزئي لبواقي النموذج<sup>7</sup> ARIMA(0,1,2)(0,1,1) عدم معنوية معاملات الارتباط فيها وبالتالي فان سلسلة البواقي تمثل سلسلة تشويش ابيض وكما هو موضح في الشكلين 4-a و 4-b .



الشكل (4-a) : دالة الارتباط الذاتي الجزئي لبواقي النموذج<sub>7</sub> ARIMA(0,1,2)(0,1,1)

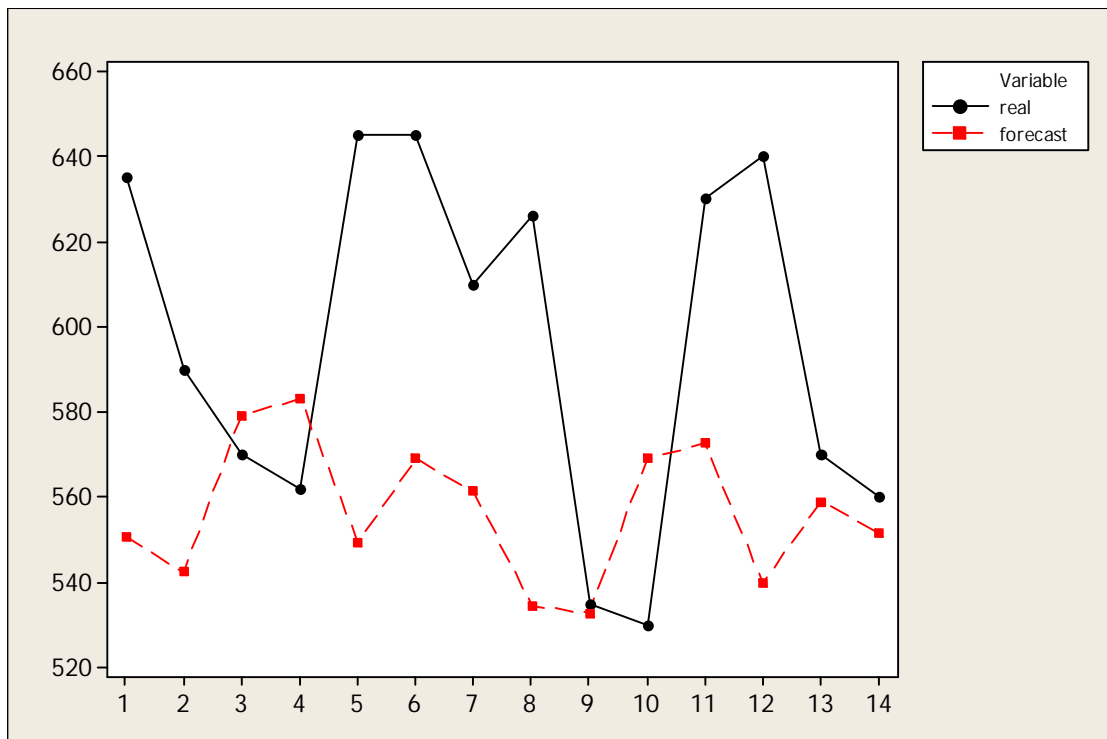


الشكل (4-b) : دالة الارتباط الذاتي لبواقي النموذج<sub>7</sub> ARIMA(0,1,2)(0,1,1)

والخطوة التالية هي استخدام النموذج المفضل والملائم للتنبؤ لـ 14 يوماً (آخر 14 قيمة من قيم المشاهدات) أي تم اخذ موسمين 2S ومقارنتها مع القيم الحقيقية باستخدام اللغة البرمجية Minitab ver.14 وكانت النتائج موضحة في الجدول (1) ، والشكل (5) يوضح الفرق بين القيم الحقيقية (real) والقيم المتنبأ بها (forecast) .

الجدول (1): القيم الحقيقة والقيم المتنبأ بها بطريقة بوكس-جينكنز

الفترة	القيمة الحقيقة	القيمة المتنبأ بها
352	635	550.639
353	590	542.447
354	570	579.363
355	562	583.118
356	645	549.528
357	645	569.182
358	610	561.426
359	626	534.526
360	535	532.770
361	530	569.028
362	630	572.716
363	640	539.720
364	570	559.028
365	560	551.411



الشكل (5): الرسم الرزمي للقيم الحقيقة والقيم المتنبأ بها بطريقة بوكس - جينكنز

يتضح من الشكل (5) أعلاه بان سلوك القيم المتنبأ بها يكون قريباً من سلوك القيم الحقيقة في الايام 3 و 4 و 9 و 13 و 14 كما يلاحظ بان سلوك القيم المتنبأ بها يأخذ نمطاً متوضطاً في التذبذب.

## 2. التطبيق بطائق التمهيد الأسني:

1.2 التطبيق بطائق التمهيد الأسني غير الموسمية :

1.1.2 التطبيق بطريقة التمهيد الأسني المنفرد :

يتم حساب التمهيد الأسني للمشاهدات بثابت تمديد  $\alpha = 0.3$  لمعادلة التمهيد الأسني البسيط (6) وعند حساب القيم الممهدةأسنياً نحتاج إلى القيمة الأولية  $S_0$  والتي تحسب بعدة طرائق وحسب اختيار الباحث. وتوضع  $S_0$  مساوية لمتوسط المشاهدات الـ 7 الأولى وكما يلي:

$$S_0 = \frac{\sum_{t=1}^7 y_i}{7} = \frac{565 + 557 + \dots + 585}{7} = 548.143$$

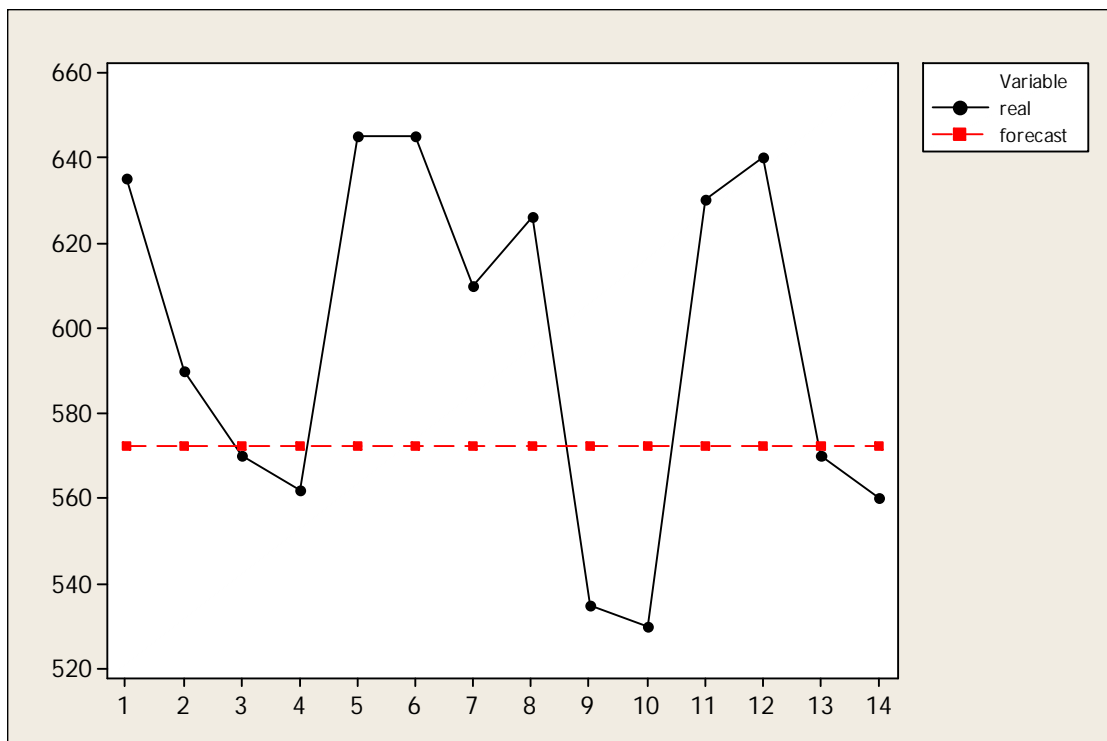
والقيم الممهدة يتم حسابها كالتالي:-

$$\begin{aligned} S_1 &= \alpha y_1 + (1 - \alpha) S_0 = 0.3(565) + 0.7(548.143) \\ &= 169.5 + 383.7001 = 553.2001 \end{aligned}$$

مقارنة بين طائق التنبؤ لسلسلة حمل الذروة اليومي للطاقة الكهربائية في مدينة الموصل

$$S_2 = \alpha y_2 + (1 - \alpha)S_1 = 0.3(557) + 0.7(553.2001) \\ = 167.1 + 387.2401 = 554.3401$$

وهكذا لحين الوصول إلى المشاهدة الأخيرة . وللتنبؤ بهذه الطريقة يلاحظ ظهر القيمة (572.533) نفسها لجميع فترات القيم الحقيقة (14 قيمة) ، والشكل (6) يوضح الفرق بين القيم الحقيقة والقيم المتباً بها لهذه الطريقة .



الشكل (6): الرسم الزمني للقيم الحقيقة والقيم المتباً بها بطريقة التمهيد الأسوي المنفرد

يتضح من الشكل (6) السابق بأن القيم المتباً بها تكون على شكل خط مستقيم ولا تسلك سلوك القيم الحقيقة نهائياً ويلاحظ بأن جميع التنبؤات عبارة عن القيمة (572.533) نفسها لجميع فترات القيم الحقيقة .

### 2.1.2 التطبيق بطريقة التمهيد الأسوي المزدوج لهولت:

عند تطبيق هذه الطريقة يتم أولاً إيجاد القيم الأولية للمستوى  $S_0$  والاتجاه  $b_0$  عن طريق استخدام معادلة الانحدار بطريقة المربعات الصغرى Least Square Method فتكون معادلة الانحدار كالتالي :

$$y_t = 554.911 + 0.312727 * t$$

اي ان

$$554.911 = S_0 \quad \text{و} \quad 0.312727 = b_0$$

ومن خلال هذه القيم يتم حساب معادلة التمهيد المزدوج (9) للحصول على القيم المتباينة بها وكما موضح في الجدول(2) ، وتُجرى عملية الحساب كالتالي: (عند  $\alpha = 0.1$  و  $\gamma = 0.3$ )

$$\begin{aligned} S_1 &= \alpha y_1 + (1 - \alpha)(S_0 + b_0) \\ &= 0.3(565) + 0.7(554.911 + 0.312727) = 558.1566089 \end{aligned}$$

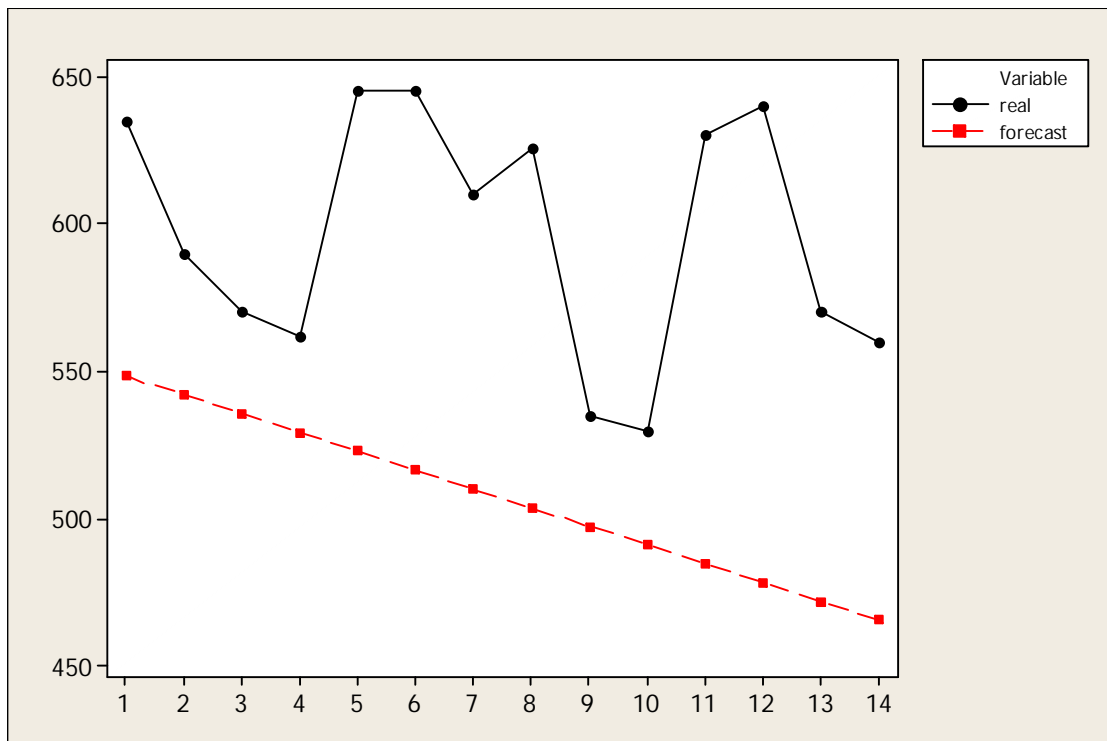
$$\begin{aligned} b_1 &= \gamma(S_1 - S_0) + (1 - \gamma)b_0 \\ &= 0.1(558.1566089 - 554.911) + 0.9(0.312727) = 0.6069632 \end{aligned}$$

وعند التتبؤ بهذه الطريقة باستخدام اللغة البرمجية Minitab ver.14 كانت النتائج موضحة في الجدول(2) ، والشكل (7) يوضح الفرق بين القيم الحقيقة والقيم المتباينة بها بهذه الطريقة.

الجدول(2): يبين القيم الحقيقة والقيم المتباينة بها بطريقة التمهيد الأسوي المزدوج لهولت

الفترة	القيمة الحقيقة	القيمة المتباينة بها
352	635	548.504
353	590	542.140
354	570	535.775
355	562	529.411
356	645	523.046
357	645	516.682
358	610	510.317
359	626	503.953
360	535	497.589
361	530	491.224
362	630	484.860
363	640	478.495
364	570	472.131
365	560	465.766

## مقارنة بين طائق التنبؤ لسلسلة حمل الذروة اليومي للطاقة الكهربائية في مدينة الموصل



الشكل (7): الرسم الزمني للقيم الحقيقة والقيم المتوقعة بها بطريقة التمهيد الأسوي المزدوج لهولت

يُلاحظ من الشكل (7) بأن القيم المتوقعة بها بعيدة كل البعد في سلوكها عن القيم الحقيقة إذ تأخذ اتجاهها تنازلياً واضحأ.

### 2.2 التطبيق بطرق التمهيد الأسوي الموسمية:

تم تجربة جميع التوافق الممكنة لقيم المعلمات والبالغ عددها (52644) مرة لكل طريقة واستخراج  $MSD$  في كل مرة ثم اخذ قيم المعلمات ( $\alpha$  ،  $\gamma$  و  $\delta$ ) معا التي تعطي اقل  $MSD$  إذ أنَّ القيمة الأقل لـ  $MSD$  هي التي تقابل المعلمات المثلثي للتمهيد حيث كلما كانت  $MSD$  اقل ذلك على دقة التمهيد.

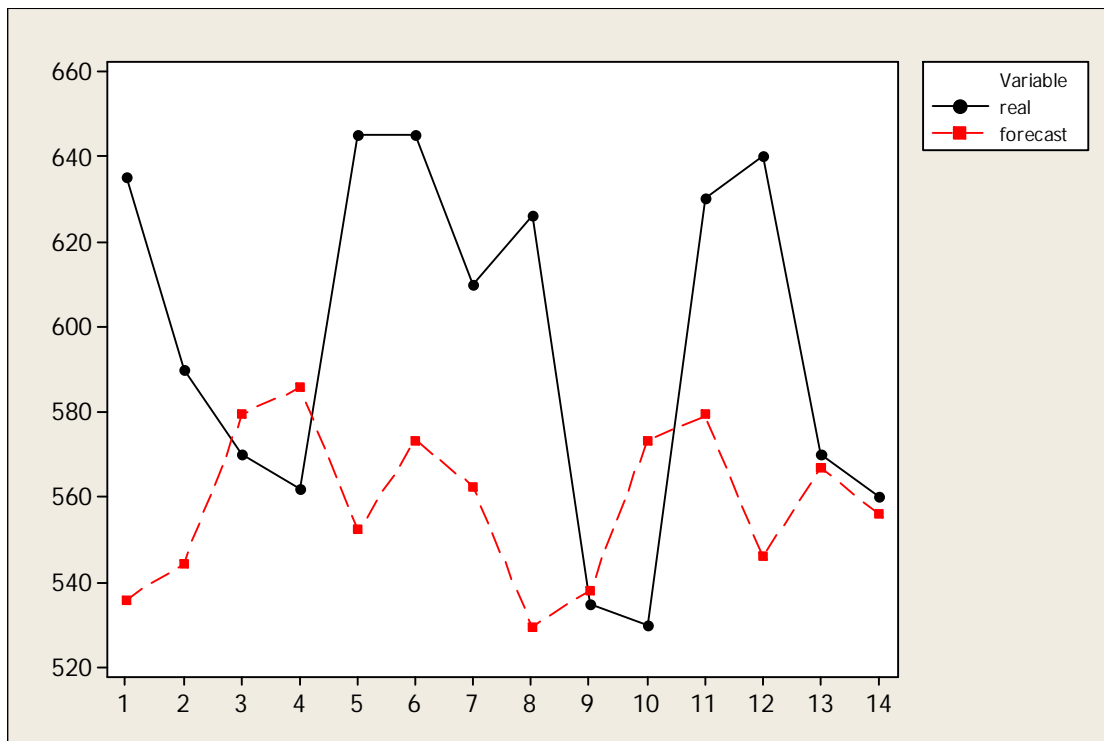
#### 1.2.2 طريقة Holt-Winters للموسمية المضافة:

تم تطبيق هذه الطريقة بالاعتماد على المعادلات المذكورة في الجانب النظري . وتم في هذه الطريقة تجربة التوافق الممكنة للمعلمات بعدد (52644) مرة وحددت قيم المعلمات ( $\alpha = 0.3$  ،  $\gamma = 0.1$  ،  $\delta = 0.01$ ) والتي تمتلك اقل متوسط مربعات انحرافات أخطاء التنبؤ(اقل  $MSD$ ) وهو يساوي (1778.92) ، أما القيم الأولية للمستوى والاتجاه والموسمية فيتم إيجادها باستخدام المعادلات (11,12,13,14) والنتائج الموضحة في الجدول (3) تمثل القيم الحقيقة والقيم

المتنبأ بها لطريقة Holt-Winters الموسمية المضافة باستخدام اللغة البرمجية Minitab ver.14 والنتائج هنا بصورة عامة أفضل من طرائق التمهيد السابقة ، والشكل (8) يوضح الفرق بين القيم الحقيقية والقيم المتنبأ بها بهذه الطريقة.

الجدول (3): يمثل القيم الحقيقة والقيم المتنبأ بها بطريقة Holt-Winters المضافة

الفترة	القيمة الحقيقة	القيمة المتنبأ بها
352	635	535.880
353	590	544.278
354	570	579.501
355	562	585.724
356	645	552.288
357	645	573.271
358	610	562.392
359	626	529.542
360	535	537.941
361	530	573.163
362	630	579.387
363	640	545.950
364	570	566.934
365	560	556.058



الشكل (8): الرسم الزمني لقيم الحقيقة والقيم المتتبأ بها بطريقة Holt-Winters المضافة

يُلاحظ من الشكل (8) ان سلوك القيم المتتبأ بها بطريقة Holt-Winters المضافة افضل من سلوك القيم المتتبأ بها لطريقي التمهيد السابقة في تذبذبه مقارنة بالقيم الحقيقة.

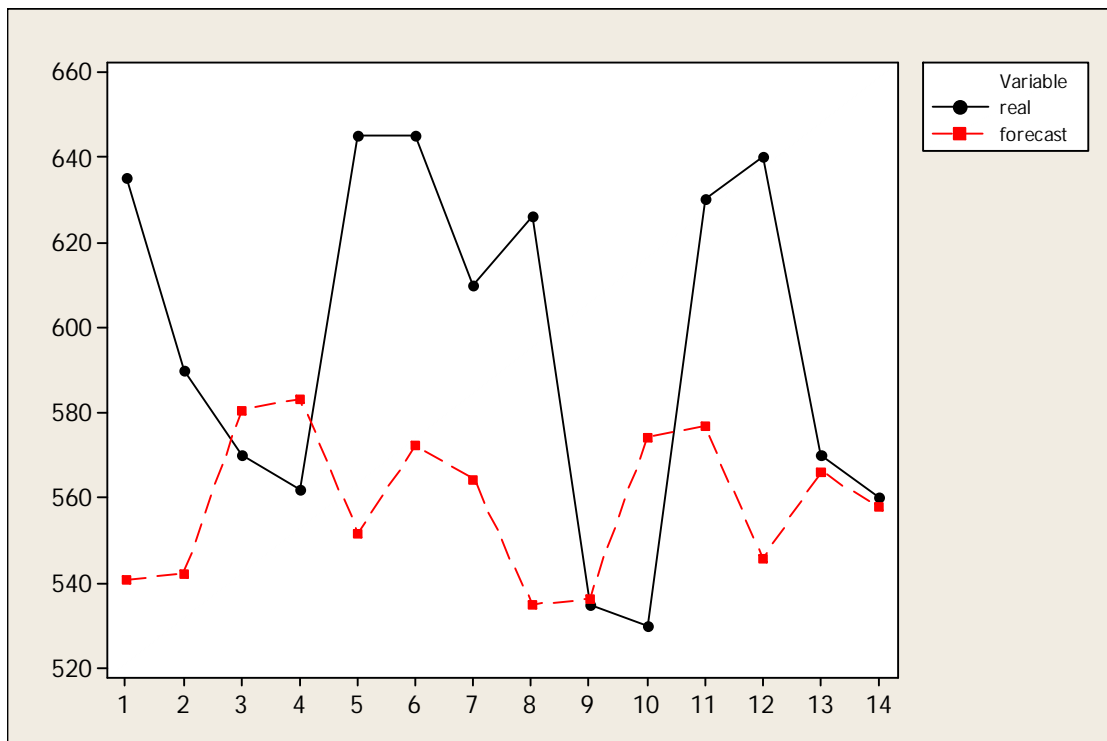
#### 2.2.2 طريقة Holt-Winters للموسمية المضاعفة:

تمت تجربة جميع التوافق الممكن للمعلمات بـ عدد (52644) مرة وحددت قيم المعلمات ( $\alpha = 0.3$  ،  $\gamma = 0.14$  ،  $\beta = 0.01$ ) والتي تمتلك أقل نسبة خطأ ممكناً. والقيم الأولية للمستوى والاتجاه والموسمية وجدت باستخدام المعادلات (18,19,20,21) وتم التنبؤ لـ 14 قيمة من القيم المشاهدة الأخيرة باستخدام اللغة البرمجية Minitab ver.14 والحصول على القيم الحقيقة و المتتبأ بها باستخدام هذه الطريقة والموضحة في الجدول (4) ، والشكل (9) يوضح الفرق بين القيم الحقيقة والقيم المتتبأ بها بهذه الطريقة.

الجدول(4): يمثل القيم الحقيقة و القيم المتتبأ بها بطريقة Holt-Winters المضاعفة

الفترة	القيمة الحقيقة	القيمة المتتبأ بها
352	635	540.952
353	590	542.187
354	570	580.647

355	562	583.217
356	645	551.746
357	645	572.566
358	610	564.163
359	626	535.020
360	535	536.232
361	530	574.260
362	630	576.791
363	640	545.657
364	570	566.238
365	560	557.918



الشكل (9): الرسم الزمني لقيم الحقيقة والقيم المتتبأ بها بطريقة Holt-Winters المضاعفة

يُلاحظ من الشكل (9) بأن سلوك القيم المتتبأ بها لم يختلف كثيراً عن الطريقة السابق (Holt-Winters ) المضاعفة مع الاخذ بعين الاعتبار ان القيم المتتبأ بها هنا تقترب من القيم الحقيقة بصورة افضل من الطريقة السابقة.

### المقارنة بين طائق التنبؤ:

تم الاعتماد على المعايير (MAE) و (MSE) و (MAPE) للمقارنة بين طائق التنبؤ والجدول (5) يوضح المعايير الإحصائية لطرائق التنبؤ.

الجدول(5): المعايير الإحصائية لطائق التنبؤ

<i>MAPE</i>	<i>MAE</i>	<i>MSE</i>	الطريقة المستخدمة
7.9913	49.4369	3611.55	بوكس-جينكنز <sup>7</sup> <i>ARIMA(0,1,2)(0,1,1)</i>
6.4040	39.2096	2166.11	التمهيد الأسوي المنفرد
14.6254	89.1505	9763.36	التمهيد الأسوي المزدوج لهولت
7.9014	48.8819	3655.93	الموسمية المضافة <i>Holt-Winters</i>
7.7924	48.2227	3551.91	الموسمية المضاعفة <i>Holt-Winters</i>

### مناقشة النتائج:

ان من اهم النتائج التي تم التوصل اليها:

1. ان طريقة *Holt-Winters* الموسمية المضاعفة تعد أفضل طريقة للتنبؤ من بين طرائق التنبؤ *Holt-Winters* (الموسمية المضافة و بوكس- جينكنز و التمهيد الأسوي المزدوج لهولت) لامتلاكها اقل قيم للمعايير ( $MSE=3551.91$  و  $MAE=48.227$  و  $MAPE=7.7924$ ).

2. على الرغم من ان طريقة التمهيد الأسوي المنفرد اعطت اقل قيم للمعايير الإحصائية من طرائق التنبؤ الاخرى لكن لايمكن اعتبارها افضل الطرائق لأن القيم المتباينة عنها عبارة عن القيمة (572.533) نفسها لجميع فترات القيم الحقيقة أي ان القيم المتباينة بها تكون على شكل مستقيم و لا تسلك سلوك القيم الحقيقة نهائياً.

3. ان طريقة التمهيد الأسوي المزدوج لهولت اعطت اكبر قيم للمعايير الإحصائية من الطرائق الأخرى المعتمدة للتنبؤ وذلك لوجود اتجاه عام واضح عند رسم السلسلة الاصلية للبيانات.

### الاستنتاجات والتوصيات

اولاً. الاستنتاجات: خلص البحث الى عدد من الاستنتاجات منها:-

1. تبين بأن سلسلة حمل الذروة اليومي للطاقة الكهربائية غير مستقرة بالتباين والوسط وتم تحويلها الى سلسلة مستقرة بعد أخذ احدى التحويلات اللوغارتمية لجعلها مستقرة في التباين ومن ثم أخذ الفرق الموسمى والفرق الاعتيادي لجعلها مستقرة في الوسط.

2. بعد معالجة عدم الاستقرارية تم اختيار النموذج  $(0,1,2)(0,1,1)$  ARIMA لتمثيل بيانات سلسلة حمل الذروة اليومي للطاقة الكهربائية في مدينة الموصل، لأن هذا النموذج يمتلك أقل قيمة لمعايير معلومات أكافي ومعلومات بيز لشوارتز مقارنةً بنماذج بوكس-جينكنز التي تمت ملائمتها، وبالتالي فهو النموذج الأكثر ملائمة للسلسلة لغرض استخدامه في التنبؤ.

3. من خلال تطبيق طرائق التنبؤ المعتمدة في البحث لوحظ تفوق طريقة Holt-Winters الموسمية المضاعفة على الطرائق الأخرى المعتمدة للتنبؤ (Holt-Winters) الموسمية المضافة وبوكس - جينكنز والتمهيد الأسوي المزدوج لهولت)، حيث تم الحصول على نتائج ذات قيم أقل للمعايير الاحصائية المستخدمة لحساب اخطاء التنبؤ، لذلك تعد هذه الطريقة هي الطريقة الأفضل للتنبؤ بالقيم المستقبلية. فضلاً عن ان طريقي Holt-Winters الموسمية المضافة وطريقة بوكس - جينكنز امتننتا دقة تنبؤ مقاربة لدقة تنبؤ طريقة Holt-Winters الموسمية المضاعفة.

#### ثانياً. التوصيات:

1. يوصى باستخدام اساليب التقنيات الذكائية كالشبكات العصبية والخوارزمية الجينية في التعامل مع سلسلة البيانات المستخدمة في البحث وامكانية الحصول على نتائج أفضل ومقارنة هذه النتائج مع طريقة بوكس-جينكنز وطرائق التمهيد الأسوي.
2. امكانية دراسة السلسل الزمنية متعددة المتغيرات في الدراسات المستقبلية لحالات قد تتطلبها بحوث التنبؤ خاصة في المجالات الطبية ودراسة الامراض التي قد تتأثر بأكثر من متغير واحد مثل العمر وغيرها.
3. يوصي الباحث وزارة الكهرباء بالاهتمام بالجانب التخططي وعدم الاكتفاء بالجانب الفني لما لهذا الجانب من اهمية في دفع عملية التنمية في هذا القطاع المهم.

#### المصادر

1. الطائي، فارس غانم ، (2003) ، " دراسة مقارنة بين طرائق بوكس جينكنز وطريقة التقنية المعدلة في التكهن " ،اطروحة دكتوراه غير منشورة ،كلية علوم الحاسوب والرياضيات ، جامعة الموصل .
2. الطائي، فاضل عباس ،(2004 )،"تقدير معلمات التمهيد المضاعف مع المحاكاة "،مجلة تنمية الرافدين لعلوم الحاسوب والرياضيات ،العدد 1.
3. بري، عدنان ماجد عبد الرحمن ،(2002)،"طرق التنبؤ الإحصائي" ،الجزء الأول ،جامعة الملك سعود،كلية العلوم، قسم الإحصاء وبحوث العمليات .

4. جمیل ، رقیہ عبد القادر، (2007)، "التنبؤ بإنتاج واستهلاك الطاقة الكهربائية في مدينة السليمانية باستخدام نماذج بوکس - جینکنز " رسالة ماجستير غير منشورة ، كلية الادارة والاقتصاد ،جامعة السليمانية.
5. شعراوي، سمير مصطفى ،(2005 )،"مقدمة في التحليل الحديث للسلسل الزمنية "،مطابع جامعة الملك عبد العزيز .
6. محمد، منعم عزيز،(2011)، "التحليل والتنبؤ في السلسل الزمنية" ، مطبعة جامعة السليمانية.
7. يونس، طارق شريفو الدباغ، رائد عبد القادر حامد،(2011)، "التحليل الاحصائي مفاهيم – منهجية – تطبيقات باستخدام البرمجية Minitab " ، سلسلة الكتب الادارية (2) ،جامعة العلوم التطبيقية ،مملكة البحرين .
8. Kalekar , Prajakta S., (2004) , "Time Series Forecasting Using Holt-Winters Exponential Smoothing.  
<URL:[http://www.it.iitb.ac.in/~praj/acads/seminar/04329008\\_ExponentialSmoothing.pdf](http://www.it.iitb.ac.in/~praj/acads/seminar/04329008_ExponentialSmoothing.pdf)> (Accessed 6 September 2011)
9. Liu , L.-M. ,( 2006) , " Time Series Analysis and Forecasting " , 2<sup>nd</sup> ed., Scientific Computing Associates Crop. , Illinois , USA .
10. Makridakis , S. and Wheel Wright , S. C. (1978) , "Forecasting Methods and Applications " , 1<sup>st</sup> ed. , John Wiley and Sons , New York , USA .
11. Makridakis , S. , Wheelwright , S. and McGee , E. ,( 1983) , "Forecasting Methods and Applications " , 2<sup>nd</sup> ed. , John Wiley and Sons , New York , USA.
12. Makridakis , S. , Wheelwright , S. and Hyndman , R. , (1998) , "Forecasting Methods and Applications " , 3<sup>rd</sup> ed. , John Wiley and Sons , New York , USA .
13. Muttar , Thafer R. ,( 2008) , " A proposed technique for the problem of selecting the best forecasting model in time series : A case study " , Iraqi Journal of Statistical Science , Vol.14 , p.p. 1-20 .
14. Taylor , James W. , (2003a) , " Exponential Smoothing with a Damped Multiplicative Trend " , International Journal of Forecasting ,Vol.19 , p.p. 715-725 .
15. Taylor , James W. , (2003b) , " Short-term electricity demand forecasting using double seasonal exponential smoothing " , Journal of the Operational Research Society , Vol.54 , p.p. 799-805 .